

(HUANJING KEXUE)

ENVIRONMENTAL SCIENCE

第34卷 第5期

Vol.34 No.5

2013

中国科学院生态环境研究中心 主办

斜学出版社出版



ENVIRONMENTAL SCIENCE

第34卷 第5期 2013年5月15日

目 次

基于过氧化物的消毒技术研究进展 对境损害评估:国际制度及对中国的启示 张红振,曹东,於方,王金南,齐霁,贾倩,张天柱,骆永明(165)不同国家基于健康风险的土壤环境基准比较研究与启示 徐猛,颜增光,贺萌萌,张超艳,侯红,李发生(166)蚯蚓堆肥及蝇蛆生物转化技术在有机废弃物处理应用中的研究进展 张志公,刘萌,朱军(167)	5)
环境损害评估:国际制度及对中国的启示 张红振,曹东,於方,王金南,齐霁,贾倩,张天柱,骆永明(165)	3)
不同国家某于健康风险的土壤环境基准比较研究与启示	7)
能创作即及幅相上物柱化技术方方切底容物的理点用由的研究进展	<u>, ,</u>
型场性几次地址主物水化以外任任的L及开创处基应用作用明元近底	フノ コ ト
基于生态分区的我国湖沿宫养监控制目标研究	1)
基于生态分区的我国湖泊营养盐控制目标研究 7晚君,席北斗,何连生,邓祥征,吴锋,王鹏腾 (168) 我国东北地区地表水酸化现状 徐光仪,康荣华,罗遥,段雷 (169) 西安市对渭河水质的影响分析 于婕,李怀思 (170) 极端于旱水文年(2011年)夏季珠江口溶解氧的分布特征及影响因素研究 叶丰,黄小平,施震,刘庆霞 (170)	5)
西安市对渭河水质的影响分析 于婕. 李怀恩 (170)	0)
极端干旱水文年(2011年)夏季珠江口溶解氧的分布特征及影响因素研究 叶丰 黄小平 施震 刘庆霞 (170)	7)
立田相亚新人前达建立·知汀新四巴沼和杨香人居居县甘淮 鼓切声 奏延立 牧五架 改電 曹佳 (171	5)
应用相 例月电台建步和上线中校电影场 ADD THE ADD H	<i>3</i>)
下江口海域底裡生态环境原重评价——AMBI 和M-AMBI 法	3)
极端十旱水文年(2011 年) 夏李珠江口溶解氧的分布特征及影响因素研究	5)
影响悬浮颗粒物吸收系数测量的相关因素研究 余小龙,沈芳,张晋芳 (174:	5)
香溪河库湾春季 pCO、与浮游植物生物量的关系 ················· 袁希功,黄文敏,毕永红,胡征宇,赵玮,朱孔贤(175	4)
紊流脉动强度对藻类生长及水环境的影响研究	1)
直供驗網对水由藻米及甘水上順味污污物。田其三硫醚同共土除研究 五成區 改沒化 工好完 胡杜非 本書板 (176	7)
回り取けれが主体大久夫の主候外行本物。中全一凱殿刊クム家明九 つっての飛りかけます。 $-$ カルル $-$ カルカル $-$ カルカルカル $-$ カルカルカル $-$ カルカルカルカルカルカルカルカルカルカルカルカルカルカルカルカルカルカルカル	2)
40 个 F_{03} Q_{1} - G_{1} Q_{2} 于以他 F_{03} G_{1} G_{1} G_{2} G_{2} G_{3} G_{2} G_{3} G_{2} G_{3} G_{3} G_{2} G_{3}	3)
水中奈普生的紫外光降解机制及具产物毒性研究	2)
酸活化赤泥催化臭氧氧化降解水中硝基苯的效能研究 康雅凝,李华楠,徐冰冰,齐飞,赵伦(1790	0)
镉污染应急处置含镉絮体稳定性实验研究	7)
基于光学在线监测及形态学研究的絮凝体强度分析方法	2)
不同由子供休下三旬某齡的还值的每和制研究	2)
不问电子 一級不切的是房加級化的的人	5) 5)
元来储学设益 做性 刺起的 制备 及	3)
城市污水——级出水超滤膜污染与膜特性的研究	2)
倒置 A ² /O-MBR 处理城市污水的中试研究 ·················· 张健君,邹高龙,杨淑芳,丁星,王莉,毛乾庄,杨丹(182:	8)
不同电子供体的硫自养反硝化脱氮实验研究	5)
短程同步硝化反硝化过程的脱氢与NO释放特性	5)
世工田山茶的的小山分孙古妻古宝古山污浊肠宫住士还保护。 20日本 本以 10日本 大人 10日本 10日本 10日本 10日本 10日本 10日本 10日本 10日本	1)
签J回相争取的小中多种有母有古有优约朱初苗朱力(宏优化	1)
多外麝香污染胁坦对蚯蚓特异性蛋白基因表达的影响 除春, 刘肃威, 郑顺安, 周后星, 李松(185	1)
浙江省制药行业典型挥发性有机物臭氧产生潜力分析及健康风险评价 徐志荣,王浙明,许明珠,何华飞(186-	4)
苯系物光催化开环降解产物低级醛类的健康效应 赵伟荣,廖求文,杨亚楠,戴九松 (187	1)
四川妇女而清中多溴联苯醚的浓度水平与组成特征	7)
咪唑类离子液体毒性的 OSAR/OSPR 研究	2)
空直云嘴山河滨工业园区丰巨土墙重与屋层边的时穴柱征 ************************************	2) 7)
需流胀动强度对藻类生长及水环境的影响研究 需雨,走天渝。伞嘉、安强、黄宁秋(176高铁酸钾对水中藻类及其次生嗅味污染物二甲基三硫醚同步去除研究 马晓雁,张泽华,王红字,胡仕斐,李青松(176纳米 Fe,O₄ H₂O₂ 非均相 Fenton 反应催化氧化邻苯二酚 何洁,杨晓芳,张伟军,王东升(177水中萘普生的紫外光降解机制及其产物毒性研究 马杜娟,刘国光,吕文英,姚锟。周丽华,谢成屏(1788酸活化赤泥催化臭氧锡架体稳定性实验研究 康雅媛,李华楠,徐冰冰,齐飞,赵伦(179隔污染应急处置含隔絮体稳定性实验研究 楝王荣,就清伟,杨仁斌,许振成,曾东(179隔污染应急处置含隔絮体稳定性实验研究 泰鵬康,冯永宁,王宝宝,王晓昌(180不同电子供体下三氯苯酚的还原脱氯机制研究 万金泉,胡梦蝶,马邕文,黄明智(180克聚糖季铵盐磁性颗粒的制备及其对甲基橙的吸附效果 张聪璐,胡薇敏,芙诗颖,王芳(181班市污水二级出水超滤膜污染与膜特性的研究 孟晓荣,张海珍,王磊,王旭东,赵亮(1827项目电子供体的疏自养反硝化脱氨实验研究 张健君,邹高龙,杨淑芳,丁星,王莉,毛乾庄,杨丹(1827不同电子供体的疏自养反硝化脱氨实验研究 张健君,邹高龙,杨淑芳,丁星,王莉,毛乾庄,杨丹(1827不同电子供体的疏自养反硝化脱氮与N₂O释放特性 梁小玲,李平,吴锦华,王百向德(1845基于固相萃取的水中多种有毒有害有机污染物富集方法优化 张明全,李华民,吴乾元,胡洪曾(185多环麝香污染胁迫对蚯蚓特异性蛋白基因表达的影响 陈春,刘潇威,郑顺安,周启星,李松(1857浙江省制药行业典型挥发性有机物臭氧产生潜力分析及健康风险评价 徐志荣,王浙明,许明珠,何华飞(186本系物光催化开环降解产物低级醛类的健康效应 赵伟荣,廖求文,杨亚楠,戴九松(187四川妇女血清中多溴联苯醚的浓度水平与组成特征 陈春,刘潇成,郑顺安,声明珠,何华飞(1867下夏石嘴山河流工业园区表层土壤重金属污染的时空特征 樊新刚,米文宝,马振宁,王婷玉(1887下夏石嘴山河流工业园区表层土壤重金属污染的时空特征 樊新刚,米文宝,马振宁,王婷玉(1887下夏古哈大自己云鄂博矿区及尾矿区周围土壤稀土污染现状和分布特征	1)
内家古包头白云郭冉伊区及尾伊区周围王壤稀工乃泉现状和分布特征····································	_ 、
福建省重点城市路面尘负荷及化学组成研究	5)
福建省重点城市路面尘负荷及化学组成研究 郑桉,杨冰玉,吴水平,王新红,陈晓秋(190	1)
重金属污染场地电阻率法探测数值模拟及应用研究 王玉玲,能昌信,王彦文,董路(1908	8)
从枝荫根直菌对稀十尾矿中大豆牛长和稀十元素吸收的影响 郭伟, 赵仁鑫, 赵文静, 付瑞英, 郭江源, 张君(191)	5)
海洋细菌 N3 对几种赤潮藻的溶藻效应	2)
1 株分离自煤矿废水的铁硫氧化细菌 LY01 的鉴定及其氧化特性研究 ····································	0)
1 体力内目床型及小的环则型化油图 LIUI 的釜定及共氧化位压则尤	0) 7)
1 株苯并[a] 花高效降解菌的筛选与降解特性 ·················· 蔡瀚, 尹华, 叶锦韶, 常晶晶, 彭辉, 张娜, 何宝燕 (1937	1)
2,2',4,4'-四溴联苯醚的好氧微生物降解	5)
养猪废水培养微生物絮凝剂产生菌群 B-737 及发酵特性 ············ 裴瑞林,信欣,张雪乔,周迎芹,姚力,羊依金 (195	1)
2,2°,4,4°-四溴基苯醛的好氧减生物降解	
黄山降水酸度及电导率特征分析	8)
黄山隆水酸度及由导家特征分析	4)
具川阵小眼又及电寸平行胆力引 直丢共山工目宣库十年产龄防业资料宜了胜尔八托	+ / 2 \
夏学與山小門间及人工气俗放小俗性离丁付世7州	3)
一) 州秋学水貍污染的 桂天气颗粒物有机酸的污染特值	2)
福建省三大城市冬季 PM _{2.5} 中有机碳和元素碳的污染特征 ········ 陈衍婷,陈进生,胡恭任,徐玲玲,尹丽倩,张福旺(1988	8)
上海市含碳大气颗粒物的粒径分布	5)
上海市浦东城区二次气溶胶生成的估算 崔虎雄、吴迓名、段玉森、伏晴艳、张懿华、王东方、王茜(200	3)
沙尘暴期间上海市大气颗粒物元素地球化学特征及其物源示踪意义	0)
厦门为委诉郊诉抽面 CO 浓度亦少性征研究	Q \
及 17ハナ L 小 L L M	()]
- GU-MS 7H GU-LUD 門門 仕续观侧平肽入飞中的 HUFU-142b ······· 郭立峰,姚波,周夜咘,学培旨,许林(202	<i>5</i> \
NARAZBO DETENDIDA DE CARA DE C	5)
城市居家环境空气真菌群落结构特征研究 方治国,欧阳志云,刘芃,孙力,王小勇(203	5)
城市居家环境空气真菌群落结构特征研究 ····································	1)
城市居家环境空气真菌群落结构特征研究	1) 8) 4) 1) 7)

不同电子供体的硫自养反硝化脱氮实验研究

袁莹,周伟丽*,王晖,何圣兵

(上海交通大学环境科学与工程学院,上海 200240)

摘要:采用硫自养反硝化处理模拟低浓度硝酸盐污染水. 分别以单质硫、Na₂S 和 Na₂S₂O₃ 作为电子供体在 3 个反应器中连续运行进行脱氮实验,以考察不同电子供体条件下的脱氮效果. 结果表明,在进水NO₃⁻-N浓度为 13 mg·L⁻¹的条件下,以 Na₂S₂O₃ 为电子供体脱氮效果最好,Na₂S 系统最差;Na₂S₂O₃ 系统对低温的适应能力最强. 20℃以上时,单质硫系统脱氮效率受传质效率和 HRT 的影响较大,HRT \geq 2 h 时,系统对NO₃⁻-N和 TN 的平均去除率较高,分别为 81% 和 79%,而 HRT < 2 h 时,NO₃⁻-N和 TN 去除率分别降为 47% 和 51%,出水NO₂⁻-N无明显积累,平均为 0. 53 mg·L⁻¹;Na₂S 系统 HRT 保持在 4 h 时,NO₃⁻-N和 TN 的平均去除率分别为 47% 和 41%,出水NO₂⁻-N平均质量浓度为 0. 29 mg·L⁻¹;而 Na₂S₂O₃ 系统的NO₃⁻-N和 TN 平均去除率分别为 99% 和 90%,出水NO₂⁻-N平均质量浓度为 0. 080 mg·L⁻¹,且最短 HRT 可缩短至 0. 5 h. 分子生物学分析表明,3 个系统中存在不同的优势硫自养反硝化菌,单质硫系统中存在脱氮硫杆菌,而 Na₂S₂O₃ 系统中得到的反硝化菌基因片段在基因库中尚未找到相似性高的菌种,可能是尚未登记的硫自养反硝化菌新菌种.

关键词:硫自养反硝化; 电子供体; 硝酸盐; 系统发育树; 脱氮硫杆菌中图分类号: X703 文献标识码: A 文章编号: 0250-3301(2013)05-1835-10

Study on Sulfur-based Autotrophic Denitrification with Different Electron Donors

YUAN Ying, ZHOU Wei-li, WANG Hui, HE Sheng-bing

(School of Environmental Science and Engineering, Shanghai Jiao Tong University, Shanghai 200240, China)

Abstract: Sulphur-based autotrophic denitrification was applied to treat the low concentration nitrate-contaminated water. Different electron donors, namely, elemental sulfur, sulfide and thiosulfate, were used in three continuous reactors to compare the denitrification performance. When treating the low concentration nitrate-contaminated water (13 mg·L⁻¹), the thiosulfate system showed the best performance and the sulfide system was the worst. The thiosulfate system was less sensitive to low temperature than the other two. At temperatures higher than 20°C, the sulfur system was greatly influenced by mass transfer efficiency and HRT. It removed 81% of nitrate and 79% of TN when HRT was no less than 2 h, but could only achieve a low nitrate and TN removal rate of 47% and 51% when HRT was shorter than 2 h. No obvious nitrite accumulation was observed and the average effluent nitrite was 0.53 mg·L⁻¹. The sulfide system could only remove 47% of nitrate and 41% of TN with 0.29 mg·L⁻¹ nitrite in the effluent at the HRT of 4 h. Meanwhile, the thiosulfate system had a high removal rate of 99% for nitrate and 90% for TN, with a low content of effluent nitrite of 0.080 mg·L⁻¹, and the HRT could be shortened to 0.5 h. The molecular biological analysis showed that different bacteria predominated in the three reactors, and that *Thiobacillus denitrificans* existed abundantly in the sulfur system, while the functional bacteria in the sulfide and thiosulfate systems could not be identified yet. A new species of sulfur-based autotrophic denitrification bacterium may have been found.

Key words: sulfur-based autotrophic denitrification; electron donor; nitrate; phylogenetic tree; Thiobacillus denitrificans

在处理河流、湖泊、景观水等低碳高氮水时,自养反硝化技术因其不需外加碳源从而避免了二次污染、产泥量少从而降低了运行费用等特点而更有优势 $^{[1-7]}$.利用还原态硫作为电子供体的硫自养反硝化研究一直都是自养反硝化脱氮研究的热点 $^{[8]}$. S^{2-} 、 S^0 和 $S_2O_3^{2-}$ 作为电子供体脱氮常见于各种研究中. 如姜巍 $^{[9]}$ 等利用硫/石灰石的生物膜反应器处理硝酸氮废水,结果表明基于电子供体硫的自养反硝化对水中的硝酸盐氮有很好的去除效果,停留时间超过 3 h,去除率可达 80% 以上. Sierra-Alvarez 等 $^{[10]}$ 采用硫/石灰石自养反硝化工艺去除地下水中

硝酸氮,进水 NO_3^- -N为 1.3 mmol·L⁻¹时,最高进水负荷可达 18.1 mmol·(L·d)⁻¹, NO_3^- -N平均去除率 95.9%,且出水无 NO_2^- -N和 S^2^- 的积累. De Lomas 等[11]在污水处理厂的总进水口投加含高浓度硝酸盐的 NutrioxTM稀释液,使得空气中的 H_2S 气体和水体中的硫化物分别减少了 98.7% 和 94.7%,采用分

收稿日期: 2012-08-01; 修订日期: 2012-09-27

基金项目: 国家水体污染控制与治理科技重大专项(2008ZX07106-2-2); 教育部新世纪优秀人才支持计划项目(NCET-11-0320)

作者简介: 袁莹(1988~),女,硕士研究生,主要研究方向为生物脱 氮,E-mail;helloyy2006@126.com

* 通讯联系人,E-mail:weilizhou@sjtu.edu.cn

子生物学手段检测到 1 株同时具有硝酸盐还原和硫化物氧化功能的自养反硝化细菌 T. denitrificans. 李巍等^[12]实现了脱硫反硝化氮、硫、碳的同步去除,硫化物的去除率达到 99%,缺氧反应器中自养反硝化占主导地位. 王晖等^[13]采用 $Na_2S_2O_3$ 作为电子供体结 合活性 炭处理 硝酸盐 废水,在 0.96 kg· $(m^3\cdot d)^{-1}$ 的负荷下仍能维持 90% 以上的 NO_3^- -N 去除率,且无 NO_2^- -N的积累.

目前对于硫自养反硝化的研究较多,但关于各 种电子供体的脱氮能力及效果的横向比较的报道很 少. 综合比较 3 种电子供体的优缺点,可以看到,采 用单质硫,可将硫磺与提供碱度的石灰石[14] 载体材 料混合填充于反应器中或固定于自然水体中,运行 管理较方便,但易造成出水硬度增加且碱量消耗较 大[15,16],单质硫的溶解度和表面积也造成一定的传 质阻碍[17];采用硫化物的优点是较易溶,而且溶解 后水解产生碱度可供自养反硝化消耗,因而不必外 加碱,但硫化物碱性较强,易对系统的酸碱性环境造 成冲击,而且硫化物不稳定易被氧化;硫代硫酸盐 为电子供体同样具有溶解度高、传质好的优点[18], 而且对系统的 pH 影响不大. 但采用硫化钠和硫代 硫酸钠为电子供体时,需增加融药、加药设备,对运 行管理要求相对高. 为了进一步讨论和比较在相同 或相似条件下用3种电子供体进行自养反硝化的实 用性、稳定性和脱氮效果,本研究选用单质硫、硫 化钠和硫代硫酸钠作为电子供体,分别进行脱氮实 验,同时考察各个系统的脱氮效果及运行稳定性,并 进一步在分子生物学方面对各个系统的驯化过程及 功能菌的种类作初步探讨.

1 材料与方法

1.1 实验装置

连续实验装置采用 3 个相同的升流式厌氧污泥床反应器,有机玻璃柱的内径为 88 mm,高 500 mm,有效容积 3.2 L. 反应装置由原水水箱、蠕动泵、污泥床层、三项分离器、集气装置 5 个部分组成(如图 1). 以不同的还原态硫为电子供体运行的 3 个反应器,简称为单质硫系统、Na₂S 系统、Na₂S₂O₃ 系统. 单质硫系统加入单质硫和石灰石的混合载体共2.5 L,载体的粒径范围是 5~15 mm,硫和石灰石的体积比为 1: 1.5,其中已经驯化的载体约占载体总量的三分之一; Na₂S 系统加入颗粒活性炭 200 g 和 2.0 L 絮状污泥,其中颗粒活性炭的粒径为 1~2 mm; Na₂S₂O₃ 系统加入轻质陶粒 2.0 L 和 2.0 L 絮 mm; Na₂S₂O₃ 系统加入轻质陶粒 2.0 L 和 2.0 L 絮

状污泥,其中轻质陶粒大粒径(4~5 mm)1.4 L、小粒径(<4 mm)0.6 L.接种污泥为上海市闵行污水处理厂的剩余污泥,经长时间的密闭放置成为厌氧污泥、用筛网过滤除去块状垃圾后作为种泥使用.

34 卷

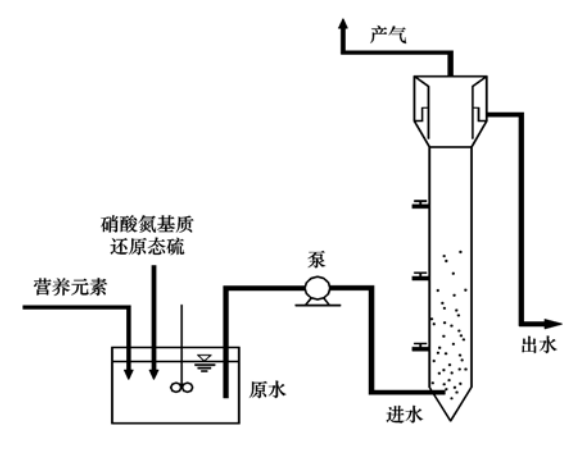


图1 实验装置示意

Fig. 1 Experimental set-up

1.2 实验材料

进水为模拟硝酸盐废水,在自来水中添加各种试剂配制而成.单质硫系统以载体中的硫为电子供体,石灰石为系统提供碱度; Na_2S 系统和 $Na_2S_2O_3$ 系统分别加入 $Na_2S \cdot 9H_2O$ 和 $Na_2S_2O_3 \cdot 5H_2O$ 为电子供体, $NaHCO_3$ 为系统提供碱度. S: N(摩尔比) = 1:1(略高于理论值的 0.84:1),投加 MgCl₂·6H₂O和 KH₂PO₄ 提供微生物生长所需微量营养元素.模拟配水如表 1 所示.

表1 模拟配水组成1)

Table 1 Composition of synthetic wastewater

成分	添加量/mg·L-1
NaNO ₃	60. 7
Na ₂ S·9H ₂ O(Na ₂ S 系统)	171.6
Na ₂ S ₂ O ₃ ·5H ₂ O(Na ₂ S ₂ O ₃ 系统)	177. 1
NaHCO ₃ (Na ₂ S、Na ₂ S ₂ O ₃ 系统)	66. 9
$\mathrm{KH_{2}PO_{4}}$	3.3
$MgCl_2 \cdot 6H_2O$	6. 0

1) NO₃-N 浓度为10 mg·L⁻¹

1.3 实验方法

3 个反应器均在自然室内温度($10 \sim 30$ ℃)条件下连续运行,进水 pH 值为 $6.0 \sim 7.0$,通过改变系统的水力停留时间(HRT)考察对比低浓度条件下 3 个反应器的脱氮效率.

1.4 分析项目与测定方法

本实验中水质指标分析项目及测定方法主要为 $NO_3^--N:$ 酚二磺酸光度法; $NO_2^--N:N-(1-萘基)-$ 乙二胺光度法;TN:碱性过硫酸钾消解紫外分光光度

法; SO₄²:铬酸钡分光光度法,均按文献[19]的方 法进行,pH 为每日实测.

1.5 分子生物学分析材料与方法

8.0

2.0

0

NO3--N/mg·L-1

根据连续实验运行条件的变化确定采样时间,

取部分反应器中的污泥收集于无菌离心管中,置于 -80℃冰箱中保存或直接进行基因组 DNA 抽 提[20,21]. 实验中对各阶段各个反应器的污泥样品采 用试剂盒提取 DNA,得到 DNA 模板. 聚合酶链式反 应(PCR)扩增采用通用引物 27F/927R^[22]以及针对 亚硝酸盐还原酶基因 nirS 和 nirK 的特异性引物 对^[23].进行基因扩增. 然后取条带清晰的 PCR 扩增 产物在浓度为8%、变性剂浓度梯度为20%~60% 的聚丙烯酰胺胶内进行变性梯度凝胶电泳

(DGGE)^[24],之后回收特征条带 DNA、PCR 扩增、 纯化、测序,测序结果在 NCBI 基因库中进行比对, 搜索碱基序列相似性较高的菌种,做出系统发育树.

结果与讨论

3个反应器均连续进水,配水中NO,-N质量浓 度为 10 mg·L⁻¹, 当地自来水中NO₃-N质量浓度约 为 3 mg·L⁻¹, 故进水NO₃-N实际为 13 mg·L⁻¹. 分别 选取温度在10~20℃之间和20℃以上的运行数据 进行分析,考察脱氮效果.

2.1 对NO, -N的去除

图 2~4 所示为采用不同电子供体的各个系统 对NO: -N的去除情况.

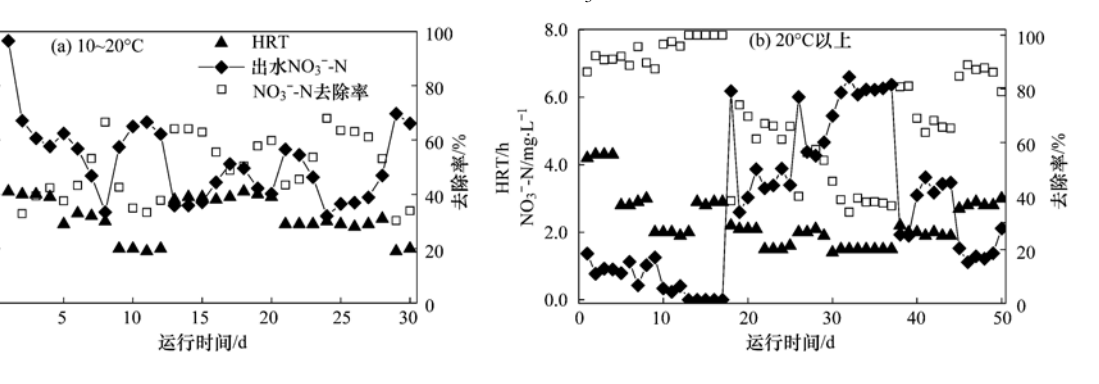


图 2 单质硫系统对NO₃-N的去除情况

Fig. 2 Removal of NO₃⁻-N in the elemental sulfur system

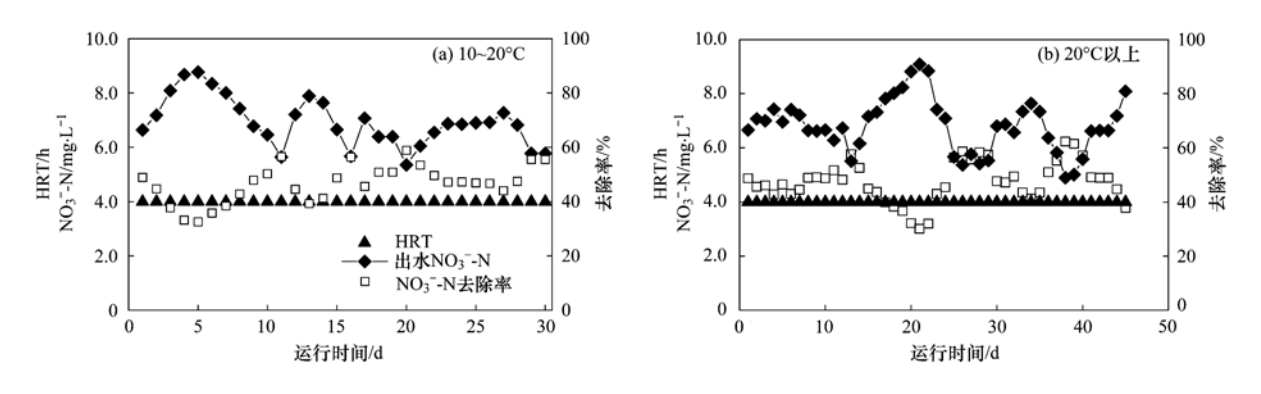


图 3 Na_2S 系统对 NO_3^- -N去除情况

Fig. 3 Removal of NO₃-N in the sulfide system

单质硫系统的NO3-N去除情况见图 2. 在 10~ 20℃时, HRT 在 2~4 h 变化, 出水NO, -N含量较高 且不稳定,平均为 5.2 mg·L⁻¹, NO₃-N去除率不稳 定,平均为50%. 在20℃以上时,HRT 由 4 h 降至2 h,可以看到系统没有受到影响且出水NO;-N含量逐 渐降低, NO, -N去除率维持在90%以上的较高水 平. 此阶段出水NO、-N平均含量和去除率分别为 0.60 mg·L⁻¹和94%. 随后 HRT 由 3 h 降至1.5 h, NO, -N去除率明显下降,降至40%左右.NO, -N平 均含量和去除率分别为 4.9 mg·L⁻¹和 51%. 由于此 时反应器已经运行半年多,硫颗粒表面积累了厚厚 的污泥,阻碍了传质,故在运行到38 d时,将反应器 中的污泥取出一部分,并将剩余的污泥和硫粒搅拌. 同时,将 HRT 由 1.5 h 逐渐提高至 3 h, NO₃-N去除 率恢复至较高值,最终达到接近90%的水平,但低 于运行初始相同 HRT 条件下的去除率,这段时间,

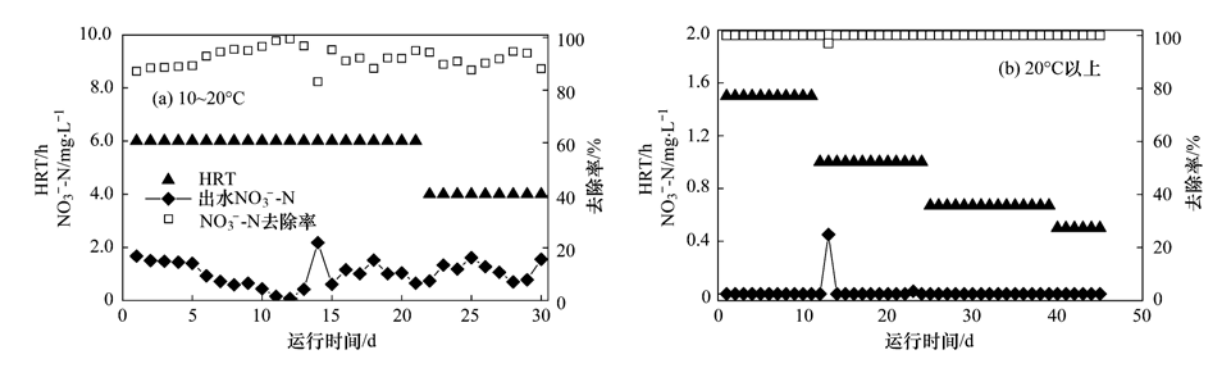


图 4 Na₂S₂O₃ 系统对NO₃-N去除情况

Fig. 4 Removal of NO₃ -N in the thiosulfate system

出水 NO_3^- -N平均含量和去除率分别为 2.2 $mg \cdot L^{-1}$ 和 77%.

总的来说,20℃以上、HRT 在 2 h 以上时,单质 硫系统可以保持较好的 NO_3^- -N 去除率,平均为 81%; HRT < 2 h 时, NO_3^- -N平均去除率为 47%. 去 除率的主要影响因素是传质效率和 HRT.

 Na_2S 系统的 HRT 保持在 4 h. 由图 3 可以看出,温度在 $10 \sim 20^{\circ}$ 时,出水 NO_3^- -N含量一直较高且不稳定,平均为 $6.9~\text{mg}\cdot\text{L}^{-1}$, NO_3^- -N去除率较低,平均为 46%.温度在 20° 以上时,出水 NO_3^- -N含量仍然较高,平均为 $6.8~\text{mg}\cdot\text{L}^{-1}$, NO_3^- -N去除率较低,平均为 47%. Na_2S 系统的 NO_3^- -N去除效果均较差.温度升高对脱氮效果无明显改善.

Na₂S₂O₃ 系统的NO₃ -N去除情况见图 4. 在 10° C ~20°C 时,HRT 由 6 h 降至 4 h,出水NO₃ -N含量较低,平均为 1.0 mg·L⁻¹,NO₃ -N平均去除率为 92%. 温度升至 20°C 以上时,HRT 由 1.5 h 逐渐降至 0.5 h,出水NO₃ -N含量一直保持较低水平,去除率接近 100%. 说明温度对 Na₂S₂O₃ 系统也有一定的影响,但该系统对温度和 HRT 变化所带来的冲击的抵抗能力较强. 而且,从去除率和水力停留时间两项指标来比较,3 个系统中 Na₂S₂O₃ 系统脱氮效率

最高.

2.2 出水 NO_2^- -N的积累及 SO_4^{2-} 的含量

脱氮过程中会产生 NO_2^- -N,由于其毒害作用比硝酸盐更强,所以出水 NO_2^- -N的浓度也是一个重要的考察指标. 图 5~7 反映的是各个系统出水中 NO_2^- -N的积累情况.

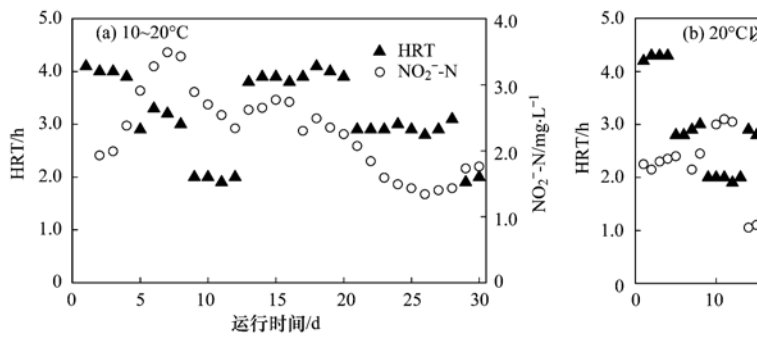
 $10 \sim 20$ ℃ 时,单质硫系统出水的 NO_2^- -N比较高 [图 3(a)],在 $1.0 \sim 3.0$ mg·L⁻¹之间波动,但温度升高至 20 ℃以上时, NO_2^- -N含量降低至 $0.2 \sim 0.8$ mg·L⁻¹.

对于 Na₂S 系统(图 6), 10 ~ 20℃ 时, 出水中 NO₂⁻-N平均含量为 1.0 mg·L⁻¹. 20℃ 以上时, 出水中NO₂⁻-N含量较低, 平均为 0. 29 mg·L⁻¹.

相比之下, $Na_2S_2O_3$ 系统(图 7)在 $10 \sim 20$ °C 时, 出水中 NO_2^- -N平均含量为 0.39 mg·L⁻¹. 而在 20°C 以上时,出水中 NO_2^- -N 平均含量仅为 0.080 mg·L⁻¹,最高为 0.60 mg·L⁻¹.

综合比较,HRT 缩短和温度降低都会造成各个反应器的 NO_2^- -N积累现象加重. 但 3 个系统仍以 $Na_2S_2O_3$ 系统最为安全,出水 NO_2^- -N最低.

图 8~10 所示为 20℃以上时各个系统出水中的 SO₄- 含量. 单质硫、Na,S、Na,S,O₃ 系统出水中



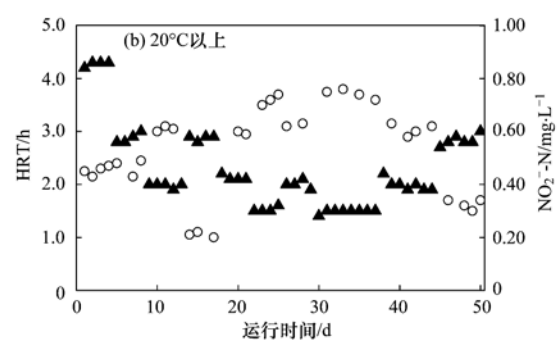


图 5 单质硫系统中 NO_2^- -N积累情况

Fig. 5 Variation of NO₂ -N in the elemental sulfur system

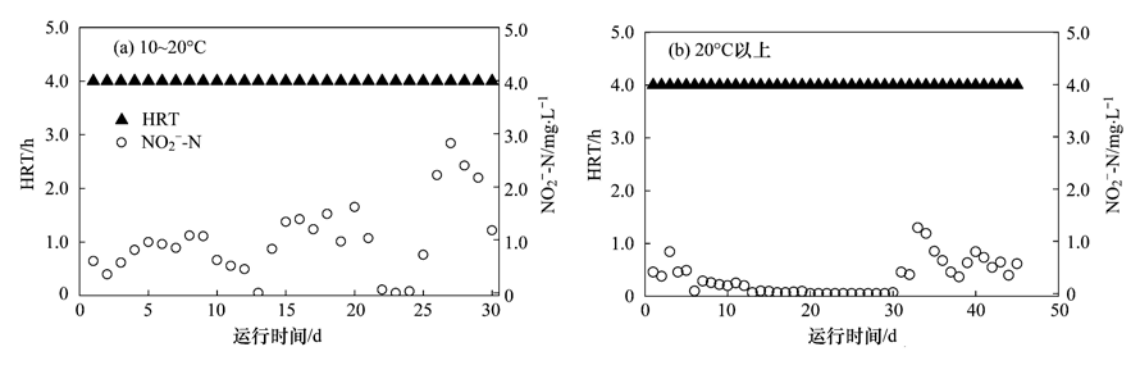


图 6 Na₂S 系统中NO₂-N积累情况

Fig. 6 Variation of NO₂ -N in the sulfide system

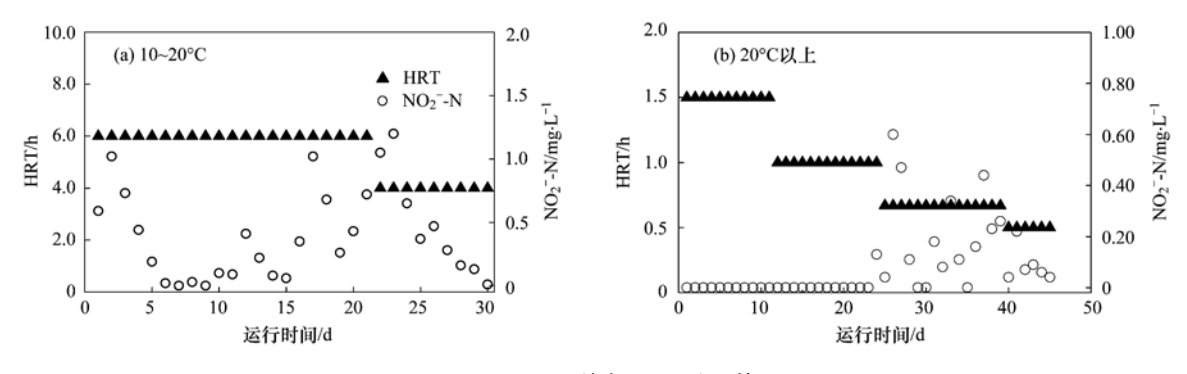


图 7 Na₂S₂O₃ 系统中NO₂-N积累情况

Fig. 7 Variation of NO₂ -N in the thiosulfate system

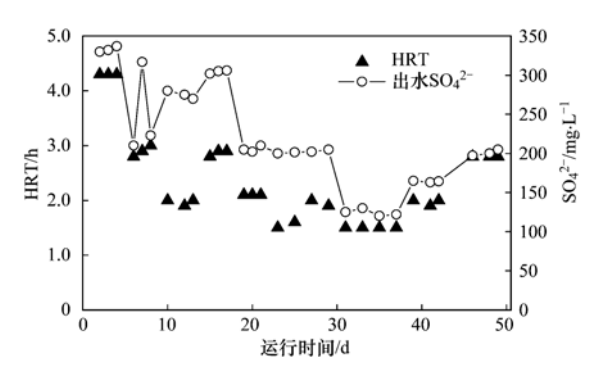


图 8 单质硫系统出水中 SO₄²⁻ 含量

Fig. 8 Concentration of effluent $\mathrm{SO_4^{2-}}$ in the elemental sulfur system

 SO_4^{2-} 平均含量分别为 224、156 和 174 $mg \cdot L^{-1}$.

可见,单质硫系统出水硫酸盐最高,这可能是由于该系统的电子供体为预先填充,相对于水中氮的含量硫总是过量的,而微溶的单质硫在有氧环境中会发生连续氧化. 另外两个系统的电子供体可根据进水浓度进行调节和控制,产生的硫酸盐较少,电子供体的浪费也相对较低. 对于低浓度含氮废水,3个系统出水中 SO_4^2 含量对水质影响不大,均可达饮用水要求的 250 mg·L^{-1[25]}.

2.3 TN 的去除

由于NO、-N的脱除需要经过由NO、转化为

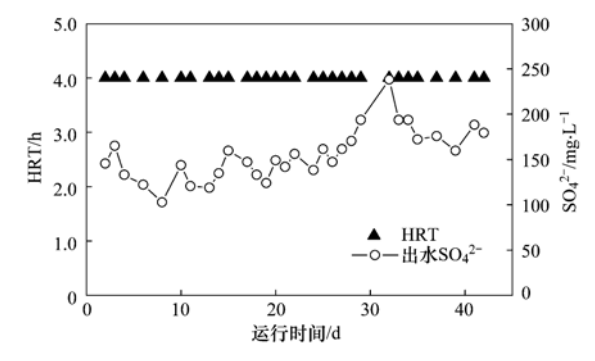


图 9 Na₂S 系统出水中 SO₄²⁻ 含量

Fig. 9 Concentration of effluent SO₄ - in the sulfide system

 NO_2^- 再转化为 N_2 的两步过程,所以系统的脱氮效果必须考虑 TN 的去除情况. 图 $11 \sim 13$ 为各个系统对 TN 的去除情况.

单质硫系统的 TN 去除率随着 HRT 的增减而增减(图 11). $10 \sim 20$ °C 时, HRT 在 $2 \sim 4$ h 变化, 出水 TN 含量最高为 9.7 mg·L^{-1} , TN 平均去除率为 40%. 当温度在 20°C 以上时, TN 去除率较高, 运行初始阶段平均为 88%, 出水 TN 平均含量为 1.5 mg·L⁻¹; 随后, HRT 由 3 h 逐渐降至 1.5 h, TN 去除率逐渐降低, 平均为 55%; 之后, 取出部分污泥并搅拌后, TN 平均去除率上升至 75%. 总的来说, 20°C

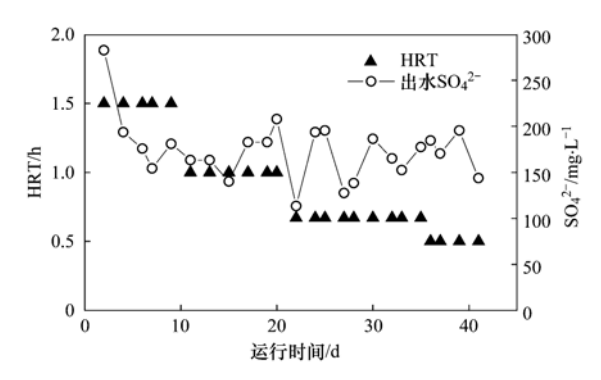


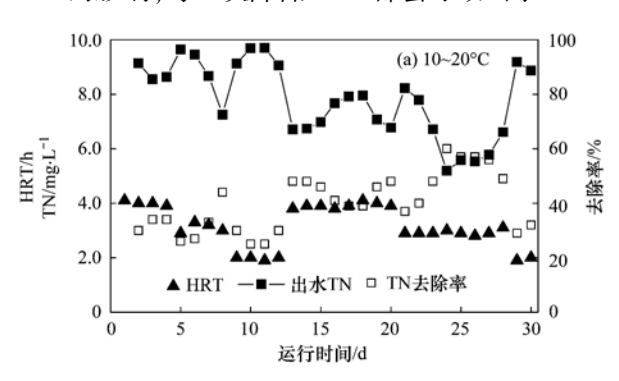
图 10 Na, S, O, 系统出水中 SO₄ - 含量

Fig. 10 Concentration of effluent SO₄²⁻ in the thiosulfate system

以上、HRT≥2 h 时,单质硫系统 TN 平均去除率为79%;而 HRT < 2 h 时,仅为51%.

 Na_2S 系统的 TN 去除情况见图 12, HRT 保持在 4 h. 10~20℃时, 出水 TN 一直较高且波动较大, TN 去除率较低, 平均为 36%; 20℃以上时, TN 去除率 仍然较低, 平均为 41%.

 $Na_2S_2O_3$ 系统出水 TN 总体较低,如图 13,但是 受 HRT 的影响,每一次降低 HRT 都会导致出水 TN



含量有短时间的上升,之后随着运行时间的延长逐渐降低. $10 \sim 20\%$ 时, 出水 TN 平均含量为 2.6 mg·L⁻¹, TN 平均去除率为 80%; 20%以上时, 出水 TN 平均含量为 1.3 mg·L⁻¹, TN 平均去除率为 90%.

综合以上各项指标,3 个系统采用不同电子供体处理低浓度硝酸盐废水,在 $10 \sim 20$ $^{\circ}$ $^{\circ}$ $^{\circ}$ $^{\circ}$ $^{\circ}$ 的两个温度阶段,各自的运行效果如表 2 所示. 在 $10 \sim 20$ $^{\circ}$ $^{\circ}$

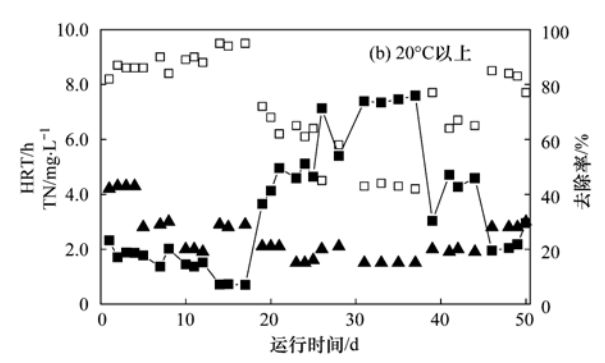
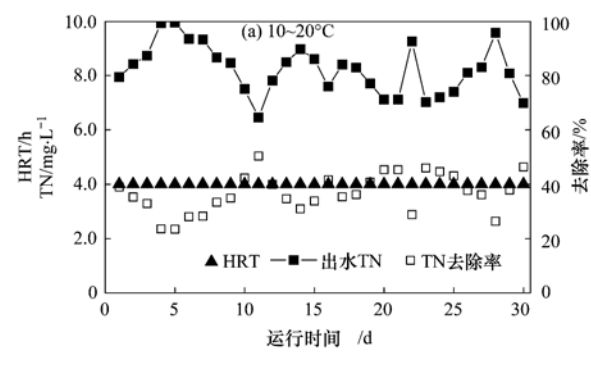


图 11 单质硫系统对 TN 去除情况

Fig. 11 Removal of TN in the elemental sulfur system



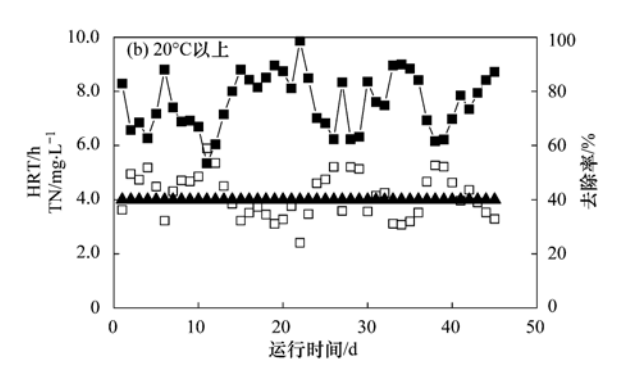


图 12 Na₂S 系统对 TN 去除情况

Fig. 12 Removal of TN in the sulfide system

从 3 个系统的脱氮效果(图 2~13 及表 2)可以看出, $Na_2S_2O_3$ 系统的脱氮效果最好且可达到较低

的 HRT, 更适用于工程实际; 单质硫系统次之, 但是 HRT 需维持在不低于 2 h, 且需要解决因污泥增长

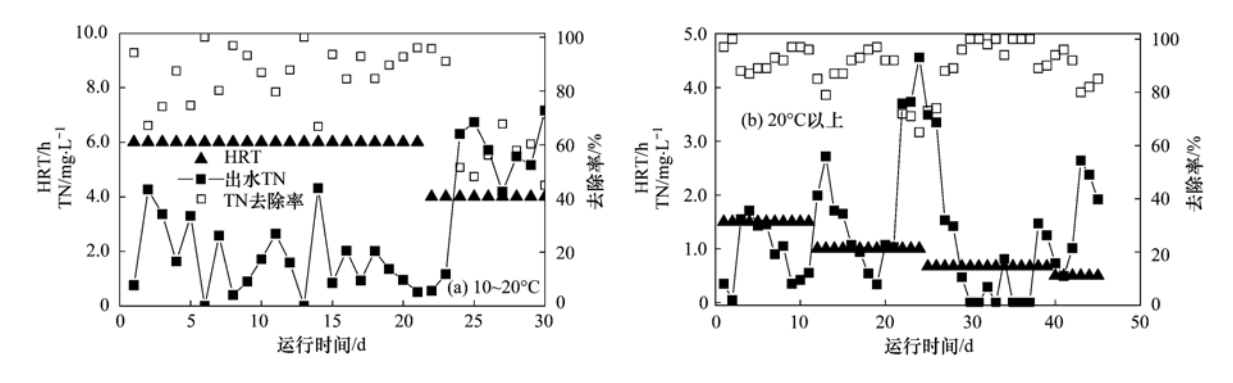


图 13 Na₂S₂O₃ 系统对 TN 去除情况

Fig. 13 Removal of TN in the thiosulfate system

而导致的传质效率变低和保温的问题; Na_2S 系统在 HRT 为 4 h 时, 无论在 $10 \sim 20$ $^{\circ}$ 还是 20 $^{\circ}$ 以上, 处理效果均较差.

传统生物脱氮工艺中,异养反硝化占据重要地位. 高建文等 [26] 采用生物滤池/生态砾石床组合工艺对微污染地表水进行异养反硝化脱氮研究,结果显示水温大于 20° 、进水浓度为 $2 \sim 3$ mg·L $^{-1}$ 时,生物滤池 HRT 最短为 15 min,对 NO_3° -N的去除率可达 90% 以上,容积负荷为

 $0.1459 \text{ kg} \cdot (\text{m}^3 \cdot \text{d})^{-1}$, 氮 去 除 速 率 为 $7.8 \text{ mg} \cdot (\text{L} \cdot \text{h})^{-1}$,处理运行费用约为 $0.10 \, \text{元} \cdot \text{t}^{-1}$.相比之下, $\text{Na}_2\text{S}_2\text{O}_3$ 自养反硝化系统最短 HRT 为 30 min, NO_3^- -N的去除率约为 99%,容积负荷为 $0.4795 \text{ kg} \cdot (\text{m}^3 \cdot \text{d})^{-1}$,氮 去 除 速 率 为 $25.9 \text{ mg} \cdot (\text{L} \cdot \text{h})^{-1}$,处理运行费用约为 $0.18 \, \text{元} \cdot \text{t}^{-1}$.由于 HRT 的限制,自养系统相比异养系统容积大,处理费用也较高,但脱氮能力和脱氮效率更高,而且不必考虑出水有机物的问题.

表 2 3 个反应器运行效果对比

Table 2	Comparison of the tr	eatment efficiency of t	the autotrophic	denitrification	reactors with	different electror	donors

· 项目 -	10 ~ 20 ℃			20℃以上		
坝目 —	S	Na ₂ S	$Na_2S_2O_3$	S	Na ₂ S	$Na_2S_2O_3$
NO ₃ -N平均去除率 /%	50	46	92	73	47	99
TN 平均去除率 /%	40	36	80	72	41	90
出水NO ₃ N/mg·L ⁻¹	5. 2	6. 9	1.0	2.7	6. 8	0.010
出水 TN /mg·L -1	9. 7	8. 2	2. 6	3.5	7. 6	1.3
出水NO ₂ N/mg·L ⁻¹	2. 2	1.0	0. 39	0.53	0. 29	0.080
最短 HRT/h	_	4	4	2	4	0.5

2.4 微生物群落的分析与比较

为了考察采用不同电子供体的3个系统中自养反硝化微生物的生长情况,从反应器内取污泥样品进行微生物的基因组 DNA 抽提,采用 PCR-DGGE 技术,分析各个系统内自养反硝化菌群落的变化情况,并根据最后测序结果做出系统发育树,分析比较反应器内优势菌群及其种群关系.

污泥样品采集信息如表 3 所示, $1 \sim 5$ 号为 $Na_2S_2O_3$ 系统连续实验不同时期采集的污泥样, $6 \sim 7$ 号污泥样从 Na_2S 系统中采得, 8 号为单质硫系统中采集的污泥样品, 8-2 号是 8 号的平行样.

试剂盒法提取样品 DNA 后,利用通用引物 27F/927R 对扩增污泥 DNA 中的 16S rDNA,并用亚硝酸盐还原酶基因 nirS 和 nirK 的特异引物对扩增

表 3 样品采集说明

Table 3 Illustration of sludge samples

样品编号	电子供体	运行天数/d	温度/℃
1	$Na_2S_2O_3$	121	27. 6
2	$\mathrm{Na_2S_2O_3}$	165	26. 6
3	$\mathrm{Na_2S_2O_3}$	188	27
4	$\mathrm{Na_2S_2O_3}$	228	21
5	$\mathrm{Na_2S_2O_3}$	253	18. 2
6	Na_2S	53	21
7	Na_2S	79	18. 2
8	S	210	24

污泥 DNA 样品中的特异性亚硝酸盐还原酶基因片段. 实验结果显示,采用通用引物 27F/927R 和特异性引物对 nirS 1F/nirS 6R 进行链式聚合酶反应,每个样品均成功扩增出 DNA 产物. 而在用 nirK 1F/

nirK 5R 特异引物对进行 PCR 反应时,只有单质硫系统所得污泥 DNA 成功获得了扩增产物(凝胶电泳照片见图 14),说明该反应器的菌群中含有其它两个反应器中所没有的 nirS(含铜)亚硝酸盐还原酶. 也就是说,采用不同价态的硫作为电子供体,驯化培养出的自养反硝化菌是不同的.

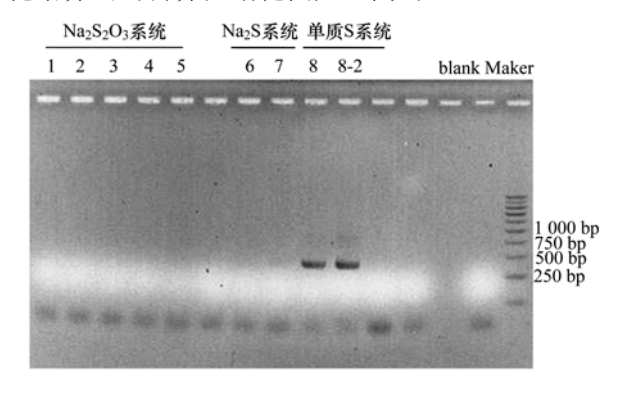


图 14 采用 nirK 引物扩增后的凝胶电泳照片

Fig. 14 Gel picture of PCR amplification with the nirK primers

通过 DGGE 实验对特异性的 PCR 扩增产物进行分离,结果如图 15 所示. 从图 15 (a) 可以看出,分离出的两条明显条带 27-1、27-6 主要集中在泳道的上部,为各个系统内共有. 8 号和 8-2 号泳道下部有两条 较清晰的条带 27-3、27-4,其中 27-3 在 Na₂S₂O₃ 系统前期样品中也有模糊条带,但其后随着运行时间逐渐消失,因此 27-3 为单质硫系统特有菌属所携带的基因片段. 采用 nirS 引物扩增的产物经过 DGGE 后的图谱[图 15 (b)]也显示 3 个系统中的自养反硝化菌群各不相同. 1~5 号泳道上部的条带 S-2 颜色逐渐变淡,推测携带该基因的菌种

随着反应器运行时间的增加,数量逐渐减少.而在这一位置的 6、7、8 和 8-2 号样品中均为明亮条带,为长期存在的菌种. 另外,1 ~ 5 号泳道下部的条带 S-6,随着运行时间的增加,条带逐渐集中,说明经过驯化和筛选,硫自养反硝化菌在 $Na_2S_2O_3$ 系统中逐渐成为优势菌种. 而 6 ~ 7 号样同样位置的条带为明显的两条带; 8 号样中则为明显的 3 条,可见 3 个系统中自养反硝化菌不仅在菌种组成上各不相同,其数量和增殖趋势也不同.

利用 nirK 引物扩增的产物,经过 DGGE 后泳道 上条带分布模式与利用 nirS 引物扩增产物分离出 的条带模式完全不同,说明不同电子供体培养驯化 出的功能菌不同,这与 PCR 结果是一致的.

从聚丙烯酰胺胶上切出特征条带回收作进一步的 PCR 扩增、纯化和 DNA 测序,所得的 DNA 序列在 NCBI 数据库中进行相似性比较,根据序列相似性选取多条已知序列的基因片段,构建系统发育树.图 16 是条带 27-3 和 27-4 基因片段构建的系统发育树,条带 27-3 测得序列与脱氮硫杆菌 Thiobacillus denitrificans ATCC 25259 相似度最高,达 100%,说明 27-3 为脱氮硫杆菌所携片段.而条带 27-4 测得序列与 27-3 在系统树中相距甚远,说明与其亲缘关系较远,与其他菌的相似度也不高,暂时无法确定其种属.实验所得的其它 nirS 和 nirK 基因片段在现有基因库中找不到任何相似的菌种,无法建立发育树,因此 Na₂S 和 Na₂S₂O₃ 系统中的优势菌可能是目前尚未登记的硫自养反硝化菌新菌种.

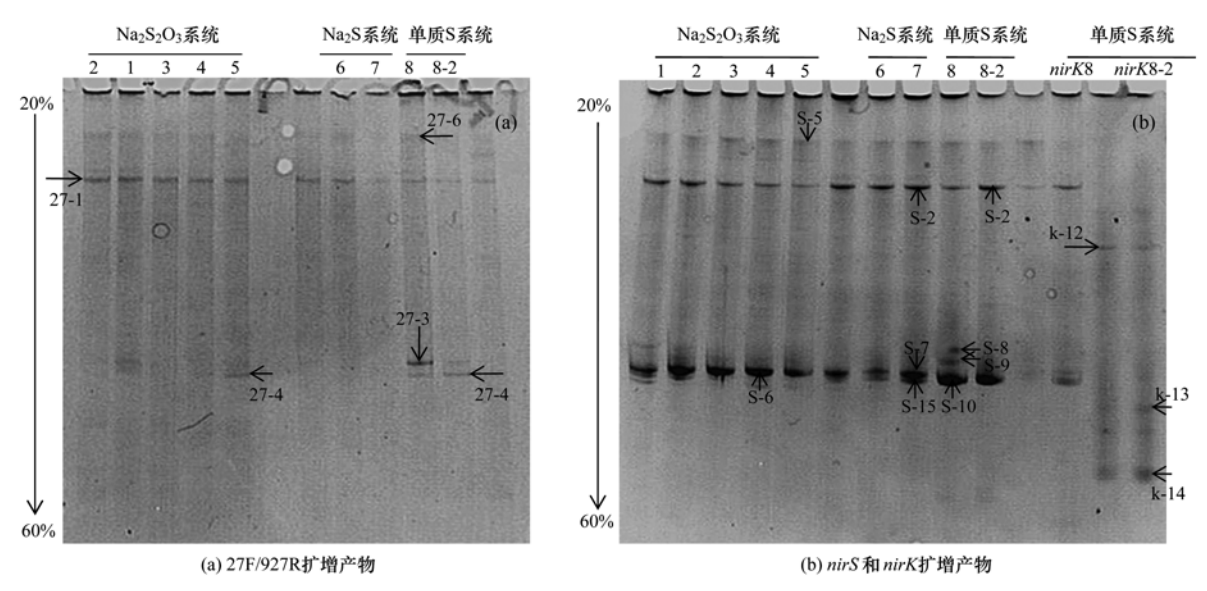


图 15 DGGE 分离后的凝胶电泳照片

Fig. 15 DGGE profiles of the amplified gene fragments

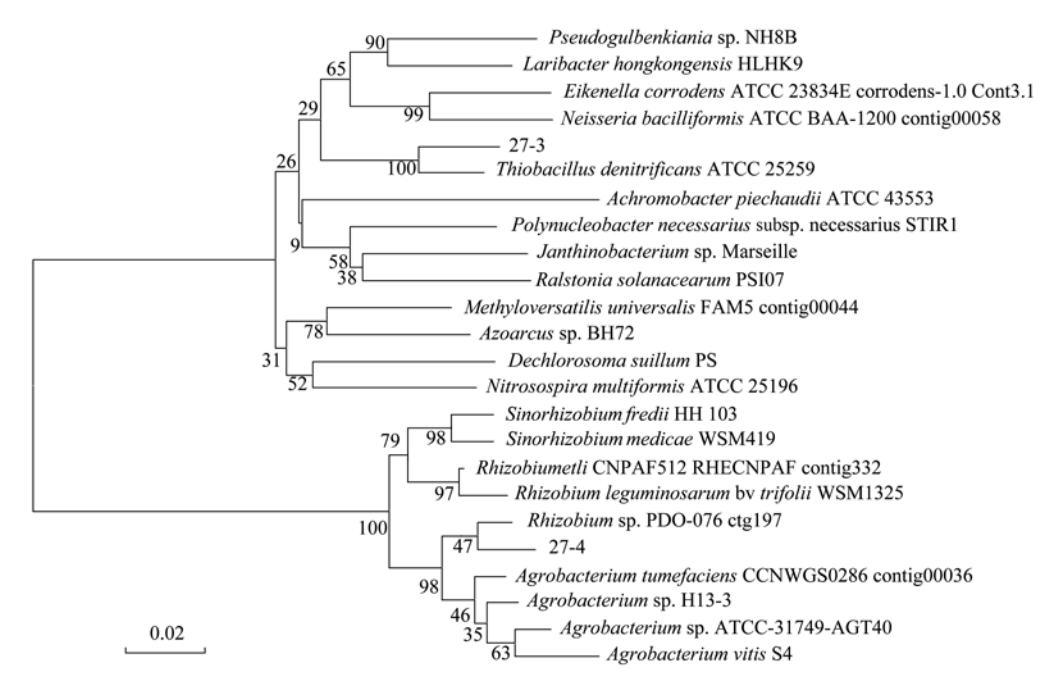


图 16 条带 27-3、27-4 系统发育树

Fig. 16 Phylogenetic tree of bands 27-3 and 27-4

3 结论

- (1)采用单质硫、 Na_2S 和 $Na_2S_2O_3$ 作为电子供体进行硫自养反硝化脱氮处理, $Na_2S_2O_3$ 系统对 NO_3^- -N的脱除效果最优, Na_2S 系统的脱氮效果最差.
- (2)3 个系统均受温度的影响,在 $10 \sim 20$ ℃下的脱氮效果均差于 20℃以上, $Na_2S_2O_3$ 系统对低温的适应能力优于单质硫和 Na_2S 系统. 单质硫系统受HRT 的影响较大, $HRT \geq 2$ h 时脱氮能力较强,同时也受传质效率的影响,不能长期维持在较高去除水平; Na_2S 系统在 HRT 保持 4 h 时对 NO_3^- -N的去除能力仍然不稳定且低; $Na_2S_2O_3$ 系统对 NO_3^- -N的处理能力最好,并且有较强的抗冲击能力,能在低HRT(0.5 h)的条件下保持 90% 以上的脱氮效率.
- (3)分子生物学分析结果显示,3个系统中自养反硝化菌群落不仅在菌种组成上各不相同,其数量和增殖趋势也不同.单质硫系统中的硫自养反硝化菌同时含有携带 nirS 和 nirK 两种基因的自养反硝化菌种,DNA 相似性比较发现该系统中存在其它两系统中不存在的脱氮硫杆菌 Thiobacillus denitrificans ATCC 25259,而在另外两种电子供体的反硝化系统中发现的菌种可能是目前尚未登记的硫自养反硝化菌新菌种.

致谢:本研究得到了课题组其他老师和同学的

大力支持,在此表示感谢.

参考文献:

- [1] Aslan Ş. Combined removal of pesticides and nitrates in drinking waters using biodenitrification and sand filter system[J]. Process Biochemistry, 2005, 40(1): 417-424.
- [2] Tallec G, Garnier J, Gousailles M. Nitrogen removal in a wastewater treatment plant through biofilters: nitrous oxide emissions during nitrification and denitrification [J]. Bioprocess and Biosystems Engineering, 2006, 29(5-6): 323-333.
- [3] Claus G, Kützner H J. Physiology and kinetics of autotrophic denitrification by *Thiobacillus denitrificans* [J]. Applied Microbiology and Biotechnology, 1985, 22(4): 283-288.
- [4] Zhang T C, Lampe D G. Sulfur: limestone autotrophic denitrification processes for treatment of nitrate-contaminated water; batch experiments [J]. Water Research, 1999, 33(3): 599-608.
- [5] Campos J L, Carvalho S, Portela R, et al. Kinetics of denitrification using sulphur compounds: effects of S/N ratio, endogenous and exogenous compounds [J]. Bioresource Technology, 2008, 99(5): 1293-1299.
- [6] Wang J, Lu H, Cheng G H, et al. A novel sulfate reduction, autotrophic denitrification, nitrification integrated (SANI) process for saline wastewater treatment [J]. Water Research, 2009, 43(9): 2363-2372.
- [7] Oh S E, Kim K S, Choi H C, et al. Kinetics and physiological characteristics of autotrophic dentrification by denitrifying sulfur bacteria [J]. Water Science and Technology, 2000, 42 (3-4): 59-68.
- [8] 邓旭亮,王爱杰,荣丽丽,等. 硫自养反硝化技术研究现状与发展趋势[J]. 工业水处理,2008,28(3):13-16.

- [9] 姜巍, 曲久辉, 雷鹏举, 等. 固定床自养反硝化去除地下水中的硝酸盐氮[J]. 中国环境科学, 2001, **21**(2): 133-136.
- [10] Sierra-Alvarez R, Beristain-Cardoso R, Salazar M, et al. Chemolithotrophic denitrification with elemental sulfur for groundwater treatment [J]. Water Research, 2007, 41 (6): 1253-1262.
- [11] De Lomas J G, Corzo A, Gonzalez J M, et al. Nitrate promotes biological oxidation of sulfide in wastewaters: experiment at plantscale[J]. Biotechnology and Bioengineering, 2006, 93 (4): 801-811.
- [12] 李巍, 赵庆良, 刘颢. 缺氧附着生长反应器同步脱氮除硫除 碳运行效果探讨[J]. 环境科学, 2008, **29**(7): 1855-1859.
- [13] 王晖, 周伟丽, 欧阳丽华, 等. 硫自养反硝化结合生物活性 炭处理硝酸盐废水[J]. 中国给水排水, 2011, 27(9): 29-32.
- [14] 王海燕, 葛建团, 刘海涛, 等. 亚硝化/电化学生物反硝化全自养脱氮工艺研究[J]. 环境科学学报, 2007, **27**(3): 375-385
- [15] Sher Y, Schneider K, Schwermer C, et al. Sulfide-induced nitrate reduction in the sludge of an anaerobic digester of a zerodischarge recirculating mariculture system[J]. Water Research, 2008, 42(16): 4386-4392.
- [16] Aoi Y, Shiramasa Y, Kakimoto E, et al. Single-stage autotrophic nitrogen-removal process using a composite matrix immobilizing nitrifying and sulfur-denitrifying bacteria [J]. Applied Microbiology and Biotechnology, 2005, 68(1): 124-130.
- [17] Zhou W L, Sun Y J, Wu B T, et al. Autotrophic denitrification

- for nitrate and nitrite removal using sulfur-limestone[J]. Journal of Environmental Sciences, 2011, 23(11): 1761-1769.
- [18] 欧阳丽华, 周伟丽, 张振家, 等. 包埋固定化微生物的硫自 养反硝化实验研究[J]. 环境科学, 2011, **32**(6): 1644-1652.
- [19] 国家环境保护局. 水和废水监测分析方法[M]. (第四版) 北京: 中国环境科学出版社, 2002.
- [20] Kageyama K, Komatsu T, Suga H. Refined PCR protocol for detection of plant pathogens in soil[J]. Journal of General Plant Pathology, 2003, 69(3): 153-160.
- [21] Zhou W L, Kageyama K, Li F S, et al. Monitoring of microbiological water quality by real-time PCR [J]. Environmental Technology, 2007, 28(5): 545-553.
- [22] Brosius J, Palmer M L, Kennedy P J, et al. Complete nucleotide sequence of a 16S ribosomal RNA gene from Escherichia coli[J]. Proceedings of the National Academy of Sciences of the United States of America, 1978, 75(10): 4801-4805.
- [23] Braker G, Fesefeldt A, Witzel K P. Development of PCR primer systems for amplification of nitrite reductase genes (nirK and nirS) to detect denitrifying bacteria in environmental samples [J]. Applied and Environmental Microbiology, 1998, 64(10): 3769-3775.
- [24] 郑景生,吕蓓. PCR 技术及实用方法[J]. 分子植物育种, 2003,1(3):381-394.
- [25] GB 5749-2006, 生活饮用水卫生标准[S].
- [26] 高建文,何圣兵,陈雪初,等.生物滤池/生态砾石床处理含 氮微污染地表水[J].中国给水排水,2012,28(1);26-30.

Environmental Science (monthly)

Vol. 34 No. 5 May 15, 2013

CONTENTS

CONTENTS	
Advances in Peroxide-Based Decontaminating Technologies	XI Hai-ling, ZHAO San-ping, ZHOU Wen (1645)
Environmental Damage Assessment: International Regulations and Revelation to China	
Human Health Risk-Based Environmental Criteria for Soil; A Comparative Study Between Countries and Implication for China · · · Organic Waste Treatment by Earthworm Vermicomposting and Larvae Bioconversion; Review and Perspective · · · · · · · · · · · · · · · · · · ·	AU Meng, YAN Zeng-guang, HE Meng-meng, et al. (1007)
Strategies of Nutrients Control in Lakes Based on Ecoregions of Lakes in China	DIAO Vice in VI Rei den HE Lien cheng et al. (1687)
Current Status of Surface Water Acidification in Northeast China	XII Guang-vi KANG Rong-hua IIIO Yao et al. (1695)
Impact Analysis of Xi'an to the Water Quality of Weihe River	
Distribution Characteristics of Dissolved Ovygen and Its Affecting Factors in the Pearl River Estuary During the Summer of the Ex	vtremely Drought Hydrological Year 2011
Distribution characteristics of Dissorted Oxygen and its Intering Factors in the Feat Africa Estaday During the Committee of the Es	······ YE Feng, HUANG Xiao-ping, SHI Zhen, et al. (1707)
Application of Equilibrium Partitioning Approach to Establish Sediment Quality Criteria for Heavy Metals in Hengyang Section of	Viangijang River
Approximate to Equinostate Continues approach to Establish Continues Quality official for Featy section of	····· HAN Chao-nan, QIN Yan-wen, ZHENG Bing-hui, et al. (1715)
Assessing the Benthic Ecological Status in Yangtze River Estuary Using AMBI and M-AMBI	······ CAI Wen-qian, MENG Wei, LIU Lu-san, et al. (1725)
Pollution Load and the First Flush Effect of BOD5 and COD in Urban Runoff of Wenzhou City	WANG Jun, BI Chun-juan, CHEN Zhen-lou, et al. (1735)
Influencing Factors in Measuring Absorption Coefficient of Suspended Particulate Matters	
Relationship Between pCO ₂ and Algal Biomass in Xiangxi Bay in Spring	
Effects of Turbulent Fluctuation Intensity on the Growth of Algae and Water Environment	
Simultaneous Removal of Algae and Its Odorous Metabolite Dimethyl Trisulfide in Water by Potassium Ferrate	
Catalyzed Oxidation of Catechol by the Heterogeneous Fenton-like Reaction of Nano-Fe ₃ O ₄ -H ₂ O ₂ System	
Photodegradation of Naproxen in Aqueous Systems by UV Irradiation; Mechanism and Toxicity of Photolysis Products	MA Du-juan, LIU Guo-guang, LU Wen-ying, et al. (1782)
Catalytic Ozonation of Nitrobenzene in Water by Acidification-activated Red Mud	KANG Ya-ning, LI Hua-nan, XU Bing-bing, et al. (1790)
Experimental Studies on Stability of Flocs from Cadmium Pollution Emergency Treatment Evaluation of Floc Strength Based on Morphological Analysis and Optical Online Monitoring	
Evaluation of Floc Strength Based on Morphological Analysis and Optical Online Monitoring Mechanism of Reductive Dechlorination of Trichlorophenol with Different Electron Donors	
Preparation of Magnetic Quaternary Chitosan Salt and Its Adsorption of Methyl Orange from Water	
Membrane Fouling by Secondary Effluent of Urban Sewage and the Membrane Properties	
Treatment of Municipal Wastewater Using the Combined Reversed A ² /O-MBR Process	7HANC lian-ium 7OU Caolong VANC Shu-fang et al. (1828)
Study on Sulfur-based Autotrophic Denitrification with Different Electron Donors	
Nitrogen Removal and N ₂ O Emission Characteristics During the Shortcut Simultaneous Nitrification and Denitrification Process · ·	
Optimization of Solid-Phase Extraction for Enrichment of Toxic Organic Compounds in Water Samples	
Polycyclic Musks Exposure Affects Gene Expression of Specific Proteins in Earthworm Eisenia fetida	······· CHEN Chun, LIU Xiao-wei, ZHENG Shun-an, et al. (1857)
Health Risk Assessment and Ozone Formation Potentials of Volatile Organic Compounds from Pharmaceutical Industry in Zheijang	Province
	XU Zhi-rong, WANG Zhe-ming, XU Ming-zhu, et al. (1864)
Health Effect of Volatile Aldehyde Compounds in Photocatalytic Oxidation of Aromatics Compounds	····· ZHAO Wei-rong, LIAO Qiu-wen, YANG Ya-nan, et al. (1871)
Compositions and Distribution Characteristics of Polybrominatd Diphenyl Ethers in Serum of Women from Sichuan Province	
QSAR/QSPR for Predicting the Toxicity of Imidazolium Ionic Liquids	
Spatial and Temporal Characteristics of Heavy Metal Concentration of Surface Soil in Hebin Industrial Park in Shizuishan Northwee	est China ·····
oparia and response of neary seem concentration of contact con in result material rank in simulation.	
Distribution Characteristic and Current Situation of Soil Rare Earth Contamination in the Bayan Obo Mining Area and Baotou Tail	ling Reservoir in Inner Mongolia
P. I. P. J. C. J. C. S. W. C. J. P. P. P.	GUO Wei, FU Rui-ying, ZHAO Ren-xin, et al. (1895)
Road Dust Loading and Chemical Composition at Major Cities in Fujian Province Numerical Simulation and Application of Electrical Resistivity Survey in Heavy Metal Contaminated Sites	ZHENG An, YANG Bing-yu, WU Shui-ping, et al. (1901)
Effects of Arbuscular Mycorrhizal Fungi on the Growth and Rare Earth Elements Uptake of Soybean Grown in Rare Earth Mine Ta	
Effects of Arbuscular Mycormizal Fungi on the Growth and Nare Earth Elements Uptake of Soybean Grown in Naie Earth Mille 12	
Algicidal Activity Against Red-tide Algaes by Marine Bacterial Strain N3 Isolated from a HABs Area, Southern China	
Isolation, Identification and Oxidizing Characterization of an Iron-Sulfur Oxidizing Bacterium LY01 from Acid Mine Drainage	
Isolation of an Effective Benzo[a] pyrene Degrading Strain and Its Degradation Characteristics	
Aerobic Microbial Degradation of 2,2',4,4'-Tetrabrominated Diphenyl Ether	
Piggery Wastewater Cultivating Bioflocculant-Producing Flora B-737 and the Fermentation Characteristics	
Correlation Between Acidic Materials and Acid Deposition in Beijing During 1997-2011	
Characteristics of Precipitation pH and Conductivity at Mt. Huang	
Chemical Characteristics of Water-Soluble Components of Aerosol Particles at Different Altitudes of the Mount Huang in the Sumr	mer ····· WEN Bin, YIN Yan, QING Yan-shuo, et al. (1973)
Pollution Characteristics of Organic Acids in Atmospheric Particles During Haze Periods in Autumn in Guangzhou	······ TAN Ji-hua, ZHAO Jing-ping, DUAN Jing-chun, et al. (1982)
Characterization of Organic Carbon (OC) and Elemental Carbon (EC) in PM _{2,5} During the Winter in Three Major Cities in Fuj	ian Province, China ·····
Size Distribution of Carbonaceous Particulate Matter in Atmosphere of Shanghai, China	
Secondary Aerosol Formation Through Photochemical Reactions Estimated by Using Air Quality Monitoring Data in the Downtown	of Pudong, Shanghai ·····
Geochemical Characteristics and Sources of Atmospheric Particulates in Shanghai During Dust Storm Event	
Near Surface Atmospheric CO ₂ Variations in Autumn at Suburban Xiamen, China	
In-situ Measurement of Background Atmospheric HCFC-142b Using GC-MS and GC-ECD Method	
Airborne Fungal Community Composition in Indoor Environments in Beijing	
Study on Quantification Assessment and Odor Fingerprint of Volatile Aromatic Hydrocarbons from Sewage Treatment Plant	
Superposition Impact Character of Air Pollution from Decentralization Docks in a Freshwater Port Thermal Stability and Transformation Behaviors of Pb in Yima Coal	
Synergistic Emission Reduction of Chief Air Pollutants and Greenhouse Gases Based on Scenario Simulations of Energy Consumpt	
of the state of th	All Tudinbo, if well (2007)

《环境科学》第6届编辑委员会

主 编:欧阳自远

副主编:赵景柱 郝吉明 田 刚

编 委: (按姓氏笔画排序)

万国江 王华聪 王凯军 王绪绪 田 刚 田 静 史培军

朱永官 刘志培 汤鸿霄 陈吉宁 孟 伟 周宗灿 林金明

欧阳自远 赵景柱 姜 林 郝郑平 郝吉明 聂永丰 黄 霞

黄耀 鲍强潘纲潘涛魏复盛

环维种草

(HUANJING KEXUE)

(月刊 1976年8月创刊) 2013年5月15日 34卷 第5期

ENVIRONMENTAL SCIENCE

(Monthly Started in 1976)

Vol. 34 No. 5 May 15, 2013

主	管	中国科学院	Superintended	by	Chinese Academy of Sciences
	办		Sponsored	by	Research Center for Eco-Environmental Sciences, Chinese
主	• • •	中国科学院生态环境研究中心	Sponsoreu	Бу	· · · · · · · · · · · · · · · · · · ·
协	办	(以参加先后为序)			Academy of Sciences
		北京市环境保护科学研究院	Co-Sponsored	by	Beijing Municipal Research Institute of Environmental
		清 华 大 学 环 境 学 院			Protection
主	编	欧阳自远			School of Environment, Tsinghua University
编	辑	《环境科学》编辑委员会	Editor-in -Chief		OUYANG Zi-yuan
>m)	7-7	北京市 2871 信箱(海淀区双清路	Edited	by	The Editorial Board of Environmental Science (HUANJING
		18号,邮政编码:100085)			KEXUE)
					P. O. Box 2871, Beijing 100085, China
		电话:010-62941102,010-62849343			Tel: 010-62941102, 010-62849343; Fax: 010-62849343
		传真:010-62849343			E-mail:hjkx@rcees.ac.cn
		E-mail; hjkx@ rcees. ac. cn			http://www. hjkx. ac. en
		http://www. hjkx. ac. cn	Published	bv	Science Press
出	版	斜学出版社	1 dolished	Dy	16 Donghuangchenggen North Street,
		北京东黄城根北街 16 号			,
		邮政编码:100717	D 1 4 1	,	Beijing 100717, China
印刷装	も订	北京北林印刷厂	Printed	by	Beijing Bei Lin Printing House
发	行	斜学出版社	Distributed	by	Science Press
		电话:010-64017032			Tel:010-64017032
		E-mail: journal@ mail. sciencep. com			E-mail: journal@ mail. sciencep. com
订 购	处	全国各地邮电局	Domestic		All Local Post Offices in China
国外总统	发行	中国国际图书贸易总公司	Foreign		China International Book Trading Corporation (Guoji
		(北京 399 信箱)	-		Shudian), P. O. Box 399, Beijing 100044, China

中国标准刊号: ISSN 0250-3301 CN 11-1895/X

国内邮发代号: 2-821

国内定价:90.00元

国外发行代号: M 205

国内外公开发行